

07;12

Метод учета параллакса и коррекции координаты для пучков γ -квантов при работе со счетчиками на основе тонкопленочных дрейфовых трубок

© С.П. Лобастов, В.М. Лысан,¹ В.Д. Пешехонов,² В.И. Смиринский

Объединенный институт ядерных исследований,
141980 Дубна, Московская область, Россия
E-mail: lyssan@sunse.jinr.ru

(Поступило в Редакцию 1 июня 1999 г.)

Для задач, подобных задачам рентгеноструктурного анализа, связанных с малоугловыми рассеяниями, предложена модель, определяющая угол и уточняющая координату входящего тонкого пучка γ -квантов при работе с детекторами на основе тонкопленочных дрейфовых трубок с катодным считыванием информации.

Введение

При проведении исследований, связанных с определением координат нейтральных частиц в газонаполненных детекторах на основе тонкопленочных дрейфовых трубок, возникает общеизвестная проблема, связанная с параллаксом. Если поток частиц проходит в плоскости, не ортогональной анодной проволоке, пространственные характеристики подобных детекторов ухудшаются в сравнении с нормальным случаем. В [1] показана возможность учета ошибки, которую дает параллакс, с целью улучшения пространственного разрешения детектора при условии, что распределение координаты от пучка γ -квантов в детекторе описывается функцией Гаусса.

Данная работа посвящена экспериментальной проверке и дальнейшему развитию метода коррекции параллакса при работе с одномерным позиционно-чувствительным детектором на основе тонкопленочных дрейфовых трубок с катодным считыванием информации [2,3].

Условия эксперимента

Для исследований был изготовлен специальный коллиматор (рис. 1) с ортогональной щелью 3 (толщиной $d = 40 \mu\text{m}$) и косой щелью 4 (толщиной $d = 80 \mu\text{m}$). Детектор [2] продувался газовой смесью Ar/CH_4 (80/20) или Xe/CH_4 (80/20) при нормальном давлении. Источник ^{55}Fe облучал детектор через щели 3 и 4 одновременно. Коллиматор можно было перемещать вверх-вниз на расстояние до 1 mm с точностью лучше $20 \mu\text{m}$. Ортогональность пучка γ -квантов считалась достаточно обеспеченной, если при смещении коллиматора вверх-вниз координата пика от щели 3 оставалась неизменной в пределах точности, определяемой пространственным разрешением детектора.

На рис. 2 приведены полученные типичные координатные распределения от двух щелей для аргоновой и ксеноновой смесей соответственно. Очевидно, что интерес представляет главным образом газовая смесь с большим

коэффициентом поглощения. В этом случае существует возможность разделения двух или более близлежащих пиков от тонких пучков γ -квантов, не ортогональных анодной проволоке. Подобная задача, например, возникает при проведении структурных исследований, связанных с малоугловыми рассеяниями, и в этой ситуации предпочтительнее работать с газовой смесью на основе ксенона при избыточном давлении.

Математическая обработка данных

1. Модель. Из экспериментальных данных (рис. 2, *a, b*) видно, что в линейных координатах распределение от проходящего тонкого пучка γ -квантов для больших углов отклонения от нормали уширенной и смещенной функцией Гаусса не является. Для обработки подобных экспериментальных данных в отличие от работы [1] сделано предположение, что координата от каждого поглощенного γ -кванта в счетчике распределена нормально, притом σ этого распределения есть пространственное разрешение

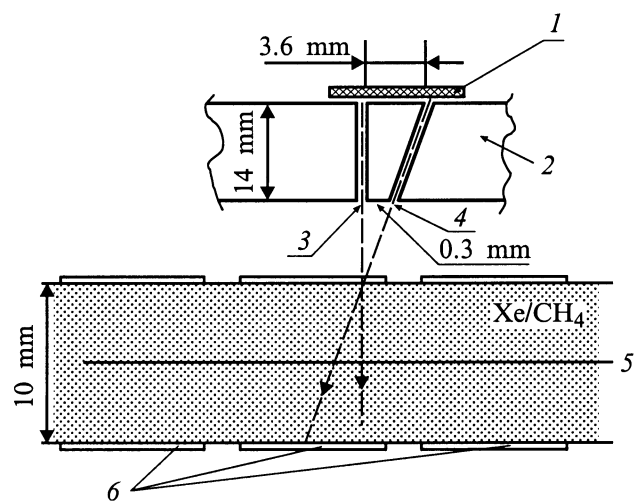


Рис. 1. Схема эксперимента: 1 — источник ^{55}Fe ; 2 — коллиматор; 3, 4 — щели; 5 — анод; 6 — стрипы.

детектора. Предполагается также, что σ для каждого единичного события является величиной постоянной, не зависящей от пройденного пути дрейфа первичного электронного облака ионизации к анодной проволоке.

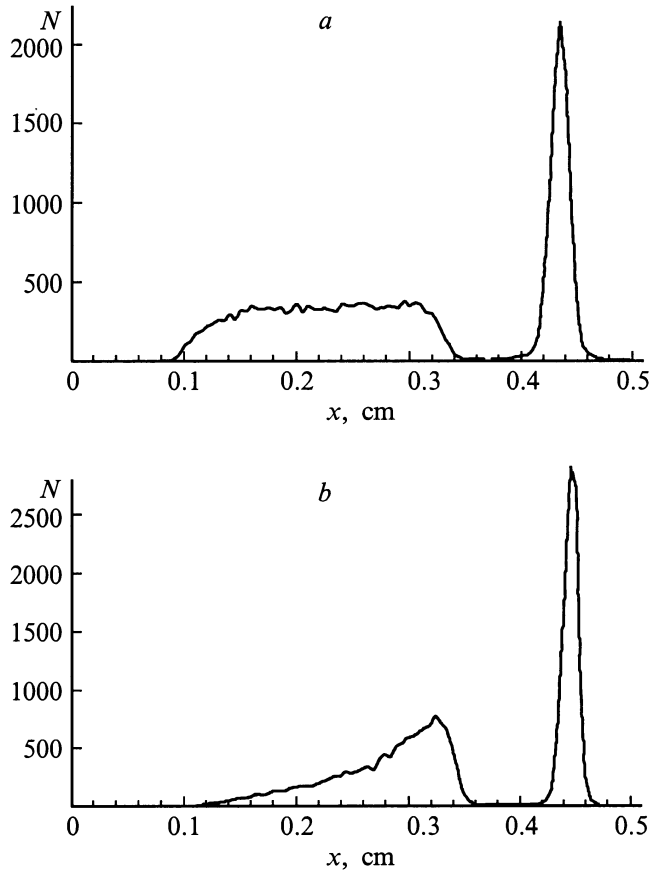


Рис. 2. Типичные координатные распределения от пучков γ -квантов для аргоновой (а) и ксеноновой (б) газовых смесей соответственно (величина одного бина равна $50 \mu\text{m}$).

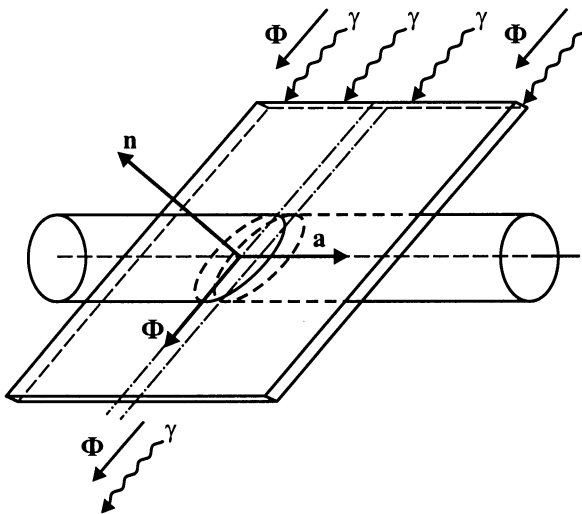


Рис. 3. Геометрия эксперимента.

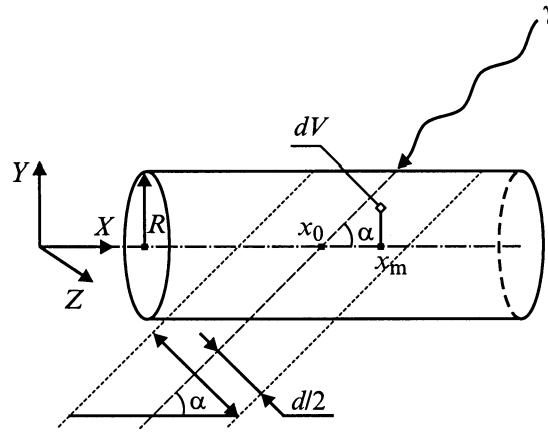


Рис. 4. Схема процесса.

Физически это значит, что диффузией дрейфующего первичного электронного облака пренебрегаем.

В эксперименте была реализована ситуация, показанная на рис. 3. Случай, когда вектор направления потока γ -квантов, вектор нормали к плоскости потока γ -квантов и вектор по направлению анодной проволоки не лежат в одной плоскости, не рассматривался. По сделанному предположению, дифференциальная вероятность обнаружить событие в точке x есть нормальное распределение

$$dP_g \sim \exp(-(x - x_m)^2 / 2\sigma^2), \quad (1)$$

где x_m — проекция на ось x точки, в которой поглотившийся γ -квант (рис. 4).

Дифференциальная вероятность поглощения γ -кванта есть

$$dP_a \sim \exp(-\mu s), \quad (2)$$

где μ — коэффициент поглощения в газовой смеси детектора, s — пробег γ -кванта в смеси.

Поскольку оба процесса происходят независимо, то полная дифференциальная вероятность обнаружить событие на аноде, включая вероятность поглощения γ -кванта в области объема dV , будет иметь вид

$$dP(x) \sim \exp(-\mu s) \exp(-(x - x_m)^2 / 2\sigma^2) dV. \quad (3)$$

Интегрируя (3) по области пересечения потока γ -квантов с газовой смесью детектора, получаем полную вероятность регистрации события в точке x

$$P(x) \sim \int_{x_0 - d/(2 \sin \alpha)}^{x_0 + d/(2 \sin \alpha)} dx'_0 \int_{-R}^R dz \int_{-\sqrt{R^2 - z^2}}^{\sqrt{R^2 - z^2}} dy \times \{ \exp(-\mu s) \exp(-(x - x_m)^2 / 2\sigma^2) \}, \quad (4)$$

где

$$s = [(R^2 - z^2)^{1/2} - y] / \sin \alpha, \quad x_m = x'_0 + y \operatorname{ctg} \alpha,$$

x_0 — точка пересечения анодной проволоки с серединной плоскостью потока γ -квантов, параллельной, по опре-

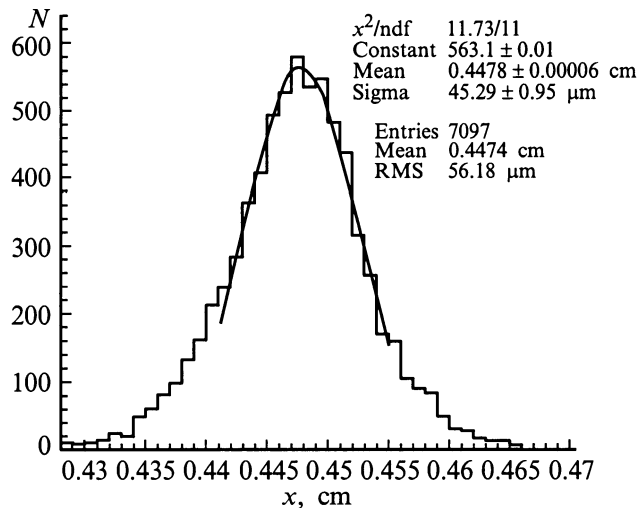


Рис. 5. Фитирование функцией Гаусса (величина одного бина равна $10 \mu\text{m}$).

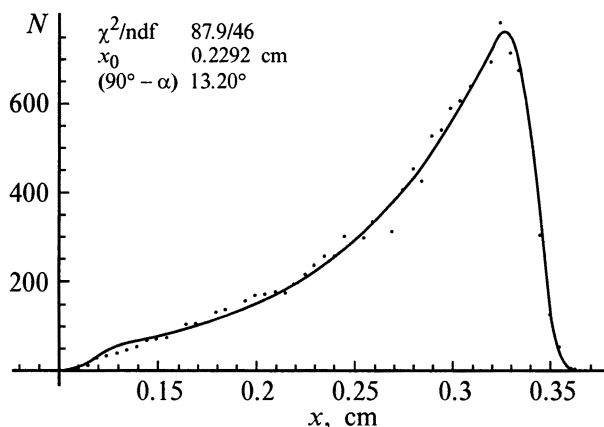


Рис. 6. Фитирование моделью (4) (величина одного бина равна $50 \mu\text{m}$).

делению, щели коллиматора; d — толщина потока γ -квантов, причем увеличением толщины этого потока, связанной с расходимостью пучка, пренебрегаем.

Таким образом, функция, задающая модель, есть $P(x, x_0, \sigma, \alpha)$.

2. **Фитирование.** Параметр σ определяется следующим образом: в случае $\alpha = 90^\circ$, т.е. в отсутствие параллакса, по данным эксперимента (рис. 2, б; щель 3) фитируем пик, используя выражение (4), и получаем $\sigma \approx 50 \mu\text{m}$. Среднеквадратичное отклонение этого экспериментального распределения имеет величину $RMS \approx 56 \mu\text{m}$ (рис. 5). Если же этот пик фитируем обычным распределением Гаусса в пределах границ, в которых наблюдается хорошее согласие с экспериментом, то получаем $\sigma_G \approx 45 \mu\text{m}$.

Теперь, считая известным параметр $\sigma = 50 \mu\text{m}$, фитируем этой моделью данные от косой щели 4 (рис. 2, б) и находим $x_0 = 0.2292 \pm 0.0011 \text{ cm}$,

$(90^\circ - \alpha) = 13.20^\circ \pm 0.12^\circ$, что весьма хорошо согласуется с измеренным углом используемого коллиматора ($13.25^\circ \pm 0.15^\circ$). Результаты такого фитирования экспериментальных данных приведены на рис. 6.

Заключение

Предложена математическая модель (4), описывающая распределение координат, регистрируемых детектором на основе тонкопленочных дрейфовых трубок с катодным считыванием информации, с учетом геометрии детектора и геометрии падающего пучка. Эта модель хорошо согласуется с экспериментальными данными и может быть применена в экспериментах, где существуют выделенные в пространстве потоки пучков γ -квантов, например в случае рентгеноструктурного анализа.

Предложен метод (5), с помощью которого в вышеуказанной ситуации существенно уточняется не только координата x_0 , но и по форме координатного распределения пика от тонкого пучка γ -квантов находится его угловая координата α , связанная с параллаксом.

Получены экспериментальные распределения координат в данном детекторе (рис. 2). На их основе впервые определена угловая координата тонкого пучка γ -квантов, основным механизмом поглощения которых является фотоэффект.

Предложенный метод может быть применен в случае создания планарных детекторов изображения в синхротронных пучках [4].

Применение численных методов интегрирования при расчетах (см. Приложение) неизбежно приведет к увеличению времени обработки экспериментальных данных в случае усложнения модели с целью повышения точности определения координат x_0 и α (например, учет диффузии или более детальное рассмотрение геометрии входящего пучка). В этой ситуации получение результата в ограниченное время зависит лишь от используемых вычислительных мощностей.¹

Авторы выражают благодарность Ю.К. Потребеникову за полезные консультации.

Приложение

Основные трудности с вычислением интеграла (4)

$$P(x) \sim \int_{x_0 - d/(2 \sin \alpha)}^{x_0 + d/(2 \sin \alpha)} dx'_0 \int_{-R}^R dz \int_{-\sqrt{R^2 - z^2}}^{\sqrt{R^2 - z^2}} dy \times \{ \exp(-\mu s) \exp(-(x - x_m)^2 / 2\sigma^2) \}$$

связаны с а) невозможностью взять аналитически данный трехкратный интеграл; б) прямое применение численного интегрирования приводит к большому машинному

¹ Для мат. обработки в данной работе применялся компьютер AMD-K-6-II, 333 MHz/32 Mb RAM/. Время счета задачи по экспериментальным данным (рис. 6) составляет 25 min.

времени счета, что связано с трехмерностью области интегрирования.

Однако интегрирование выражения (4) можно провести аналитически только лишь для переменных x и x'_0 последовательно. В результате после упрощений получается выражение

$$\begin{aligned}
 I(x, x_0, \sigma, \alpha) \equiv & \int_{-R/2}^{R/2} dz \left(\left(-2 + \exp \left(2\sqrt{R^2 - z^2} \mu \csc(\alpha) \right) \right. \right. \\
 & \times \operatorname{Erf} \left(\frac{2x - 2x_0 - 2\sqrt{R^2 - z^2} \cot(\alpha) + d \csc(\alpha)}{2\sqrt{2}\sigma} \right) \\
 & + \exp \left(2\sqrt{R^2 - z^2} \mu \csc(\alpha) \right) \\
 & \times \operatorname{Erf} \left(\frac{-2x + 2x_0 + 2\sqrt{R^2 - z^2} \cot(\alpha) + d \csc(\alpha)}{2\sqrt{2}\sigma} \right) \\
 & + \exp \left(2\sqrt{R^2 - z^2} \mu \csc(\alpha) \right) \\
 & \times \left(\exp \left(\frac{\mu \sec(\alpha)(2x - 2x_0 - d \csc(\alpha) + \mu \sigma^2 \sec(\alpha))}{2} \right) \right. \\
 & \times \left(\operatorname{Erf} \left(\frac{-2x + 2x_0 - 2\sqrt{R^2 - z^2} \cot(\alpha) + d \csc(\alpha) - 2\mu \sigma^2 \sec(\alpha)}{2\sqrt{2}\sigma} \right) \right. \\
 & \left. \left. - \operatorname{Erf} \left(\frac{-2x + 2x_0 + 2\sqrt{R^2 - z^2} \cot(\alpha) + d \csc(\alpha) - 2\mu \sigma^2 \sec(\alpha)}{2\sqrt{2}\sigma} \right) \right) \right) \\
 & + \exp \left(\frac{\mu \sec(\alpha)(2x - 2x_0 + d \csc(\alpha) + \mu \sigma^2 \sec(\alpha))}{2} \right) \\
 & \times \left(-\operatorname{Erf} \left(\frac{2x - 2x_0 - 2\sqrt{R^2 - z^2} \cot(\alpha) + d \csc(\alpha) + 2\mu \sigma^2 \sec(\alpha)}{2\sqrt{2}\sigma} \right) \right. \\
 & \left. + \operatorname{Erf} \left(\frac{2x - 2x_0 + 2\sqrt{R^2 - z^2} \cot(\alpha) + d \csc(\alpha) + 2\mu \sigma^2 \sec(\alpha)}{2\sqrt{2}\sigma} \right) \right) \\
 & + \operatorname{Erfc} \left(\frac{-2x + 2x_0 - 2\sqrt{R^2 - z^2} \cot(\alpha) + d \csc(\alpha)}{2\sqrt{2}\sigma} \right) \\
 & + \operatorname{Erfc} \left(\frac{2x - 2x_0 + 2\sqrt{R^2 - z^2} \cot(\alpha) + d \csc(\alpha)}{2\sqrt{2}\sigma} \right) \Big) \sin(\alpha) \\
 & \times \frac{1}{\exp \left(2\sqrt{R^2 - z^2} \mu \csc(\alpha) \right) \mu}. \quad (5)
 \end{aligned}$$

Остается провести интегрирование по z , которое делаем численно.² Нормировочный коэффициент определяется по формуле

$$K = \frac{1}{\int_{-\infty}^{\infty} dx I(x, x_0, \sigma, \alpha)}. \quad (6)$$

² Область интегрирования по z отличается от общего выражения (4) по причине того, что реально детектор имел коллиматор (окно) шириной 0.5 mm (R) по всей длине трубок.

Окончательно, модель задается выражением

$$p(x, x_0, \sigma, \alpha) = \frac{I(x, x_0, \sigma, \alpha)}{\int_{-\infty}^{\infty} dx I(x, x_0, \sigma, \alpha)} \equiv KI, \quad (7)$$

где интегрирование в числителе и в знаменателе проводится численно с точностью до пятой значащей цифры.

Ввиду сложности математической модели (7) первоначально использовался метод Ньютона для минимизации χ^2 -функционала, который дает быструю сходимость с минимальным числом итераций. Но этот численный метод не дает явной функциональной зависимости параметров $\{x_{0\min}, \alpha_{\min}, \sigma_{\min}\}$, минимизирующего функционал, от экспериментальных значений $\{N_i, x_i\}$, что в свою очередь затрудняет точную оценку погрешностей найденных параметров (стандартных отклонений). Поэтому использован следующий прием: модель (7) по x и по параметрам в окрестности $\{x_{0\min}, \alpha_{\min}, \sigma_{\min}\}$ интерполируется полиномом третьей степени. Затем снова ищется минимум χ^2 -функционала методом полиномиальной регрессии [5], который дает уже явную зависимость параметров $\{x_{0\min}, \alpha_{\min}, \sigma_{\min}\}$ от $\{N_i, x_i\}$, что позволяет более точно оценить погрешности искомых параметров.

Список литературы

- [1] Grachev S.Yu., Peshekhonov V.D. // Communication JINR. 1996. N E13-96-83.
- [2] Bychkov V.N. et al. // Nuclear Experimental Techniques. 1998. Vol. 41. N 3. P. 315–319.
- [3] Астабатьян Р.А. и др. // Сообщение ОИЯИ. 1998. № P13-98-271.
- [4] Bychkov V.N. et al. // Nucl. Instr. and Meth. in Phys. Res. 1995. Vol. A367. P. 276–279.
- [5] Тейлор Дж. Введение в теорию ошибок. Пер. с англ. М.: Мир, 1985. Taylor John R. An Introduction to Error Analysis, California: University Science Books Mill Valey, 1982.